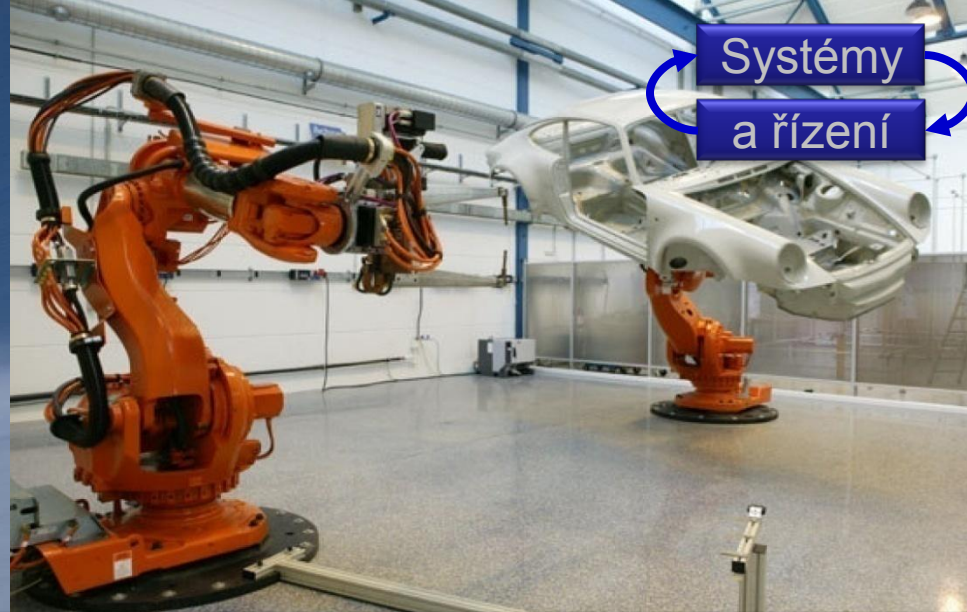


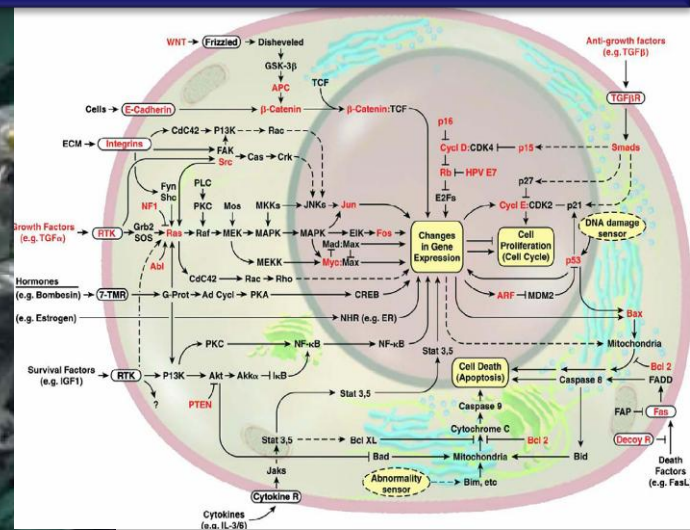
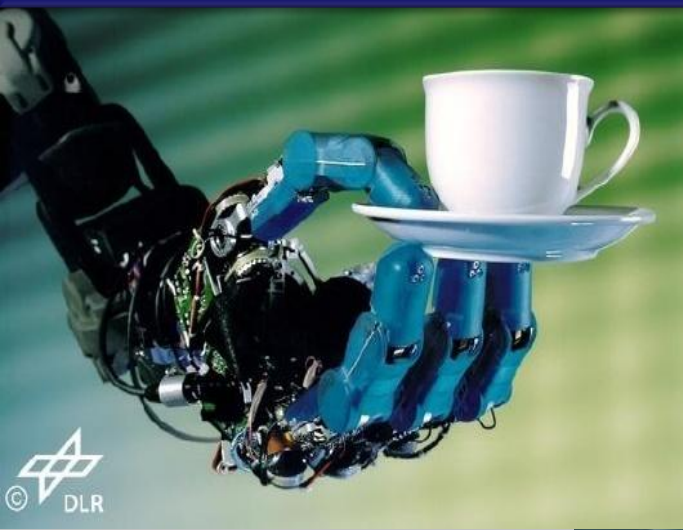
Systémy
a řízení



Systémy a řízení Nelineární Systémy



21.9.2009



nelineární vs. lineární

fázové portréty

linearizační efekt zpětné vazby

nelineární soustava a různé linearizace

nelinearity v aktuátoru

stabilita nelineárních systémů

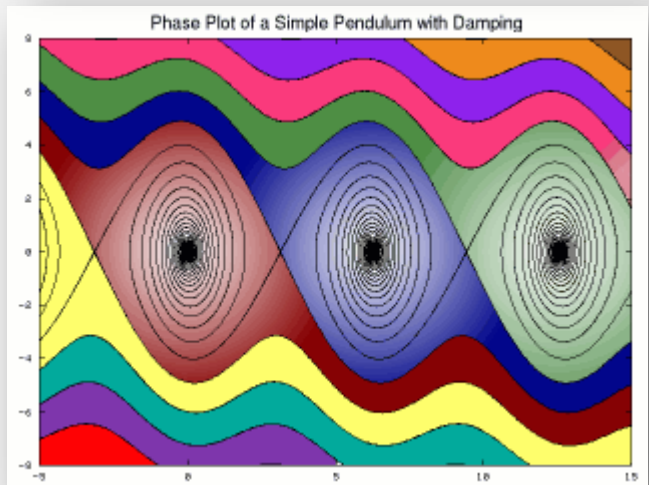
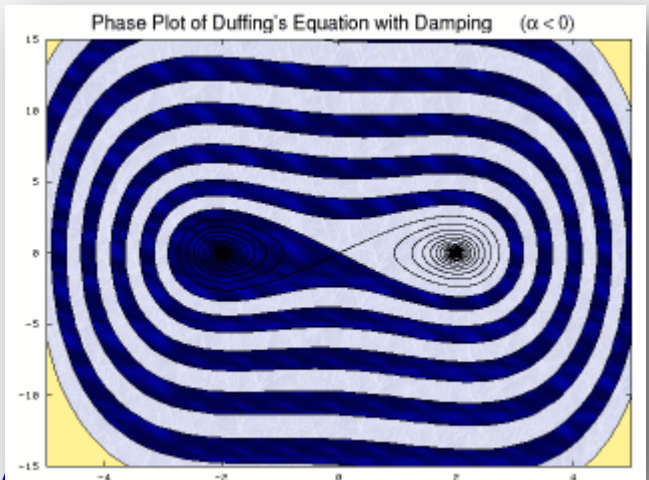
přestávka

Lyapunova funkce

stabilita zpětnovazebních nelineárních systému

oscilace nelineárních systémů

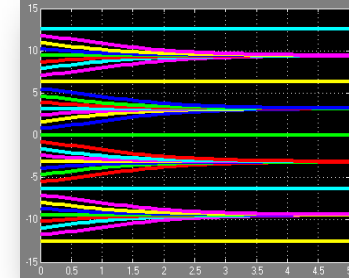
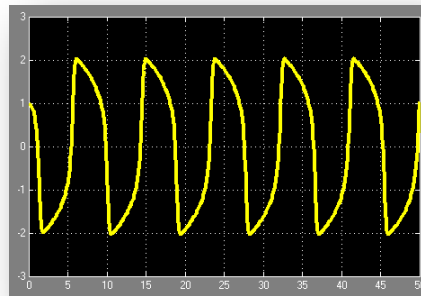
Nelineární systémy



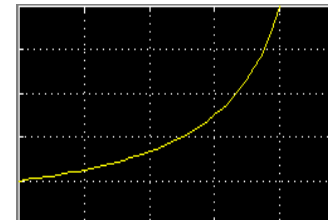
- Lineární systémy: superposice, věrnost frekvence, frekv. Charakteristiky a modely, přenosy, ...
 - Reálné systémy většinou (ne vždy) nelineární, při relativně malých signálech často můžeme approximovat lineární modelem
 - Nelinearitu musíme vzít v úvahu když: větších signály / projevuje se i pro malé / nelze linearizovat apod.
 - Nelineární systémy popisujeme jen v časové oblasti $\dot{x} = f(x, u)$
 nelin. dif. rovnice, speciálně stavové $y = h(x, u)$
 - Co nemá smysl: přenos (neplatí superpozice), frekvenční přenos a charakteristiky (přenos frekvence závisí i na amplitudě, na výstupu mohou být nové frekvence, které nebyly na vstupu, ...), póly, nuly
 - Co má trochu jiný smysl: stabilita (lokální vs. globální)
 - Dochází k jevům u lineárních systémů nevidaným
 - mnoho příkladů těchto jevů je na doplňkových slajdech

$$\begin{aligned}\dot{x} &= f(x, u) \\ y &= h(x, u)\end{aligned}$$

- U nelineárních systémů: **jevy** u lineárních nevídané
- Řešení neexistuje nebo není jednoznačné
- Více **izolovaných ekvilibrií** (rovnovážných stavů)
- Stabilní oscilace



- **Únik v konečném čase**
- **bifurkace** (kvalitativní rysy se mění se změnou parametrů)
- **synchronizace** (vázané oscilátory se synchronizují)
- **složité dynamické chování**: turbulence , chaos, ...
- mnoho příkladů těchto jevů je na doplňkových slajdech



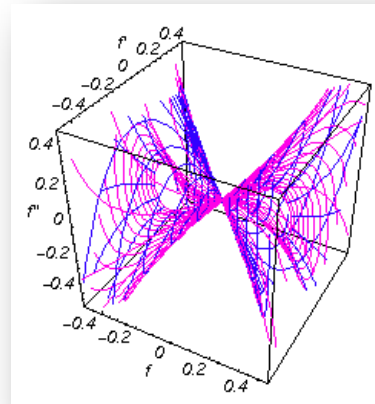
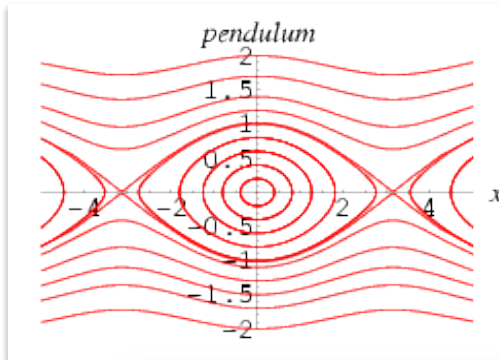
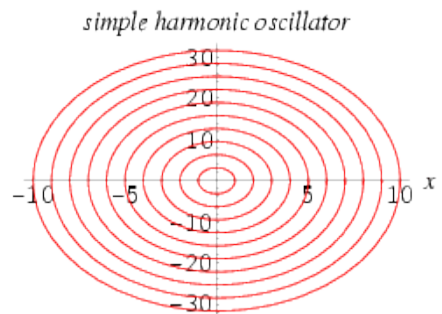
Fázové portréty

- Řešení nelineárního systému druhého rádu
- vyjadřujeme jako funkce času

$$x_1 = x_1(t), x_2 = x_2(t)$$

$$\dot{x}_1 = f_1(x_1, x_2)$$
$$\dot{x}_2 = f_2(x_1, x_2)$$

- Je to parametrické vyjádření 2-D křivky (trajektorie syst.) v rovině x_1, x_2 s param. t
- Fázový portrét systému je grafické vyjádření soustavy takových křivek pro různé poč. stavů
- Fázový portrét by měl zobrazovat všechny zajímavé jevy v systému: ekvilibria, limitní cykly...
- Fázový portrét má smysl i pro systémy rádu >2 ale není tak názorný (neumíme ho hezky nakreslit)
- Podrobnosti k numerickému vykreslování portrétů jsou v doplňkových slajdech



Je-li nelinearita v soustavě (systému, procesu), pak se

- většinou snažíme ji linearizovat a pak použít lineární model
- a to buď přibližně (přibližný lin. model v okolí prac. bodu)
- anebo přesně pomocí ZV (nelineární nebo i lineární)

Je-li soustava lineární, ale nelinearita je v aktuátoru

- Tedy ji do řídicího systému přidáváme my, neboť jinak nelze
- pak ji buď ignorujeme, navrhujeme lineárně a ověříme výsledek
- nebo ji musíme vzít v úvahu od začátku
- Snažíme se její vliv omezit (např. lineární ZV)
- nikdy ji přibližně nelinearizujeme

Vliv nelinearit na časovou odezvu

- Někdy nelinearitu do systému přidáme sami při řízení (v aktuátoru)
- navrhujeme lineárně ale myslíme na ni (malé signály) a ověříme výsledek simulací
- Snažíme se její vliv omezit (např. lineární ZV), ale přibližně ji nelinearizujeme
- na příkladech si ukážeme vliv takové nelinearity na časovou odezvu

Polohování antény v azimutu: motor+zátěž (anténa)

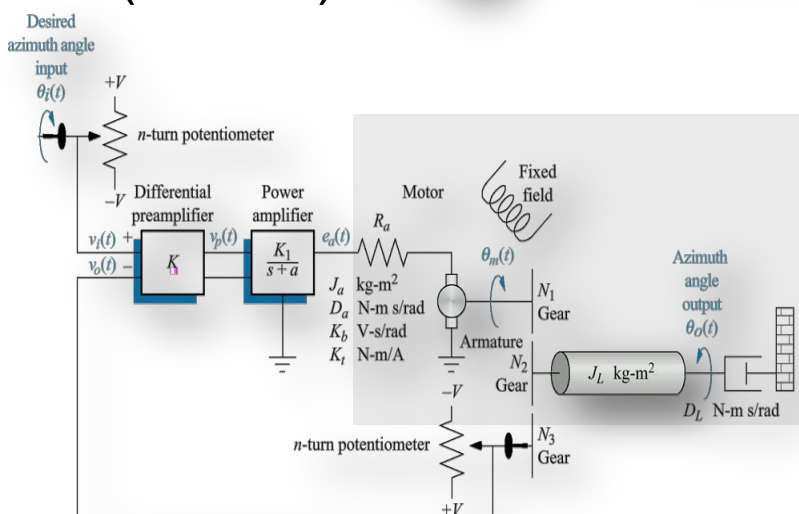
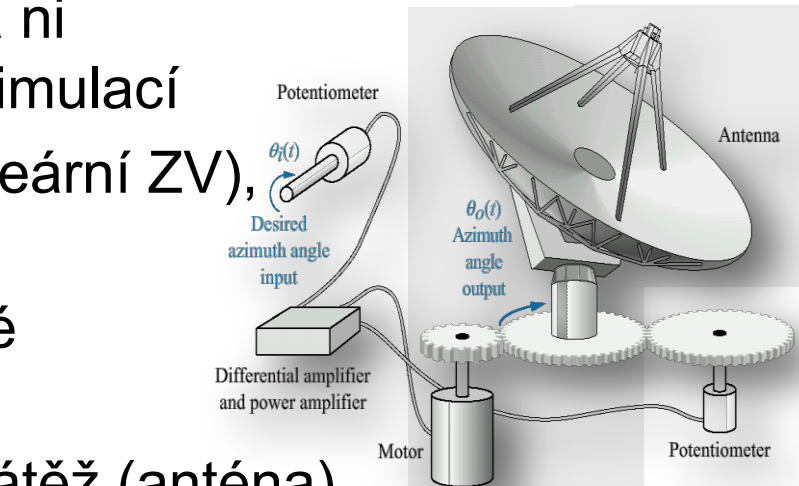
- přenos napětí na kotvě na úhlovou rychlosť antény

převody

$$\omega_o(s) = 0.1s\theta_m(s) = \frac{0.2083}{s+1.71} E_a(s)$$

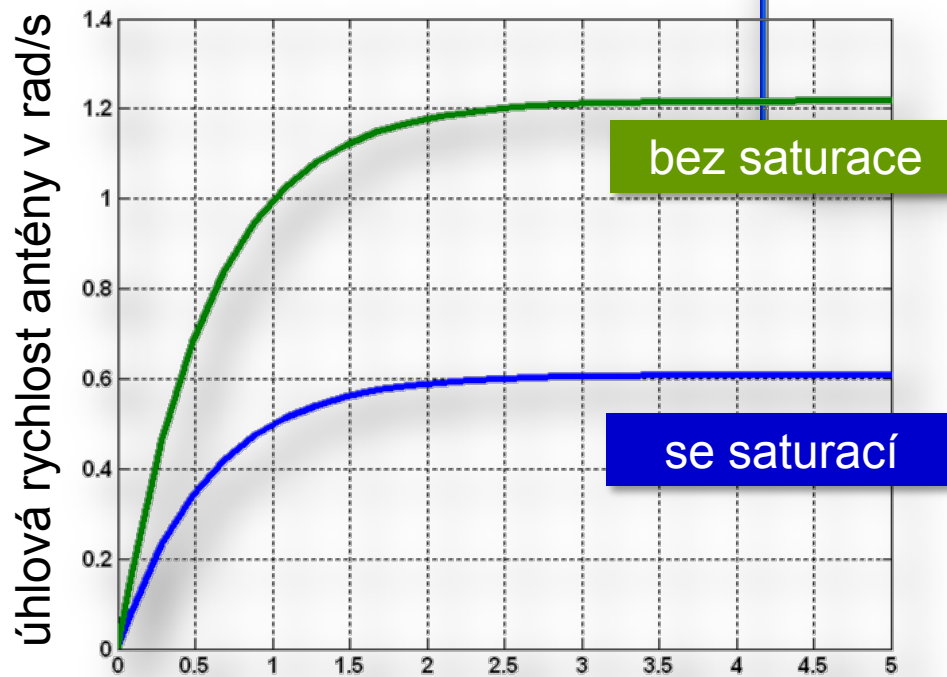
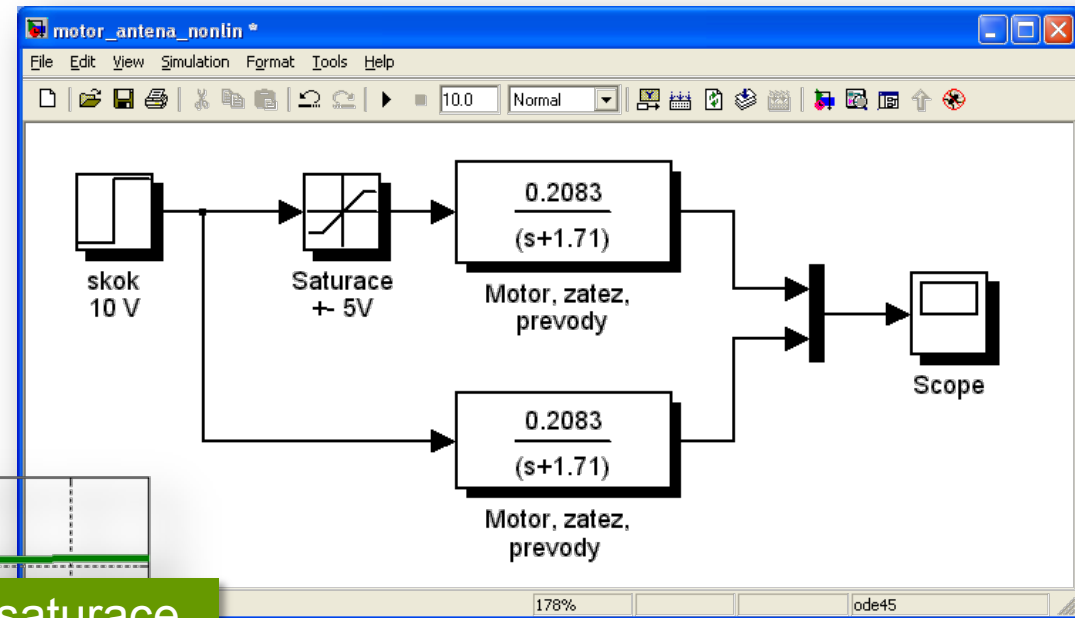
↑ ↑ ↑

úhlová rychlosť antény úhlová poloha kotvy napětí na kotvě



Příklad: vliv saturace na vstupu

- saturace
- ve výkonovém zesilovači
- se zesílením 1, ale se saturací ± 5 V

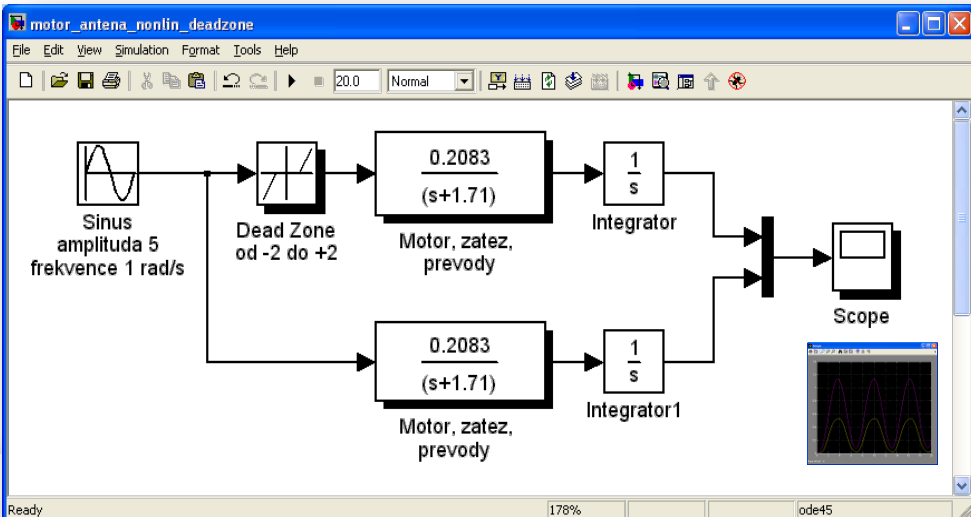
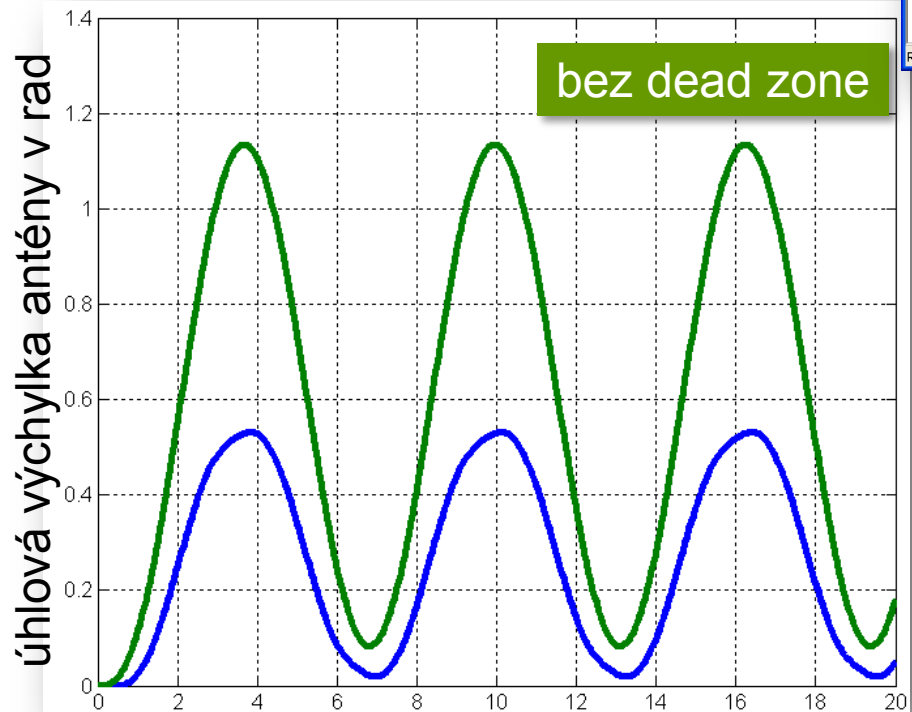


Efekt saturace v zesilovači je podle očekávání:

- saturace pouze zmenší skokový signál na vstupu
- a tomu odpovídá výstup

Příklad: vliv pásmo necitlivosti

- pásmo necitlivosti
dead zone
- na výstupní hřídeli
- vstupní signály v pásmu
od -2 V do +2 V nemají efekt
na výstup (neotočí hřídelí)



- dobře se projeví při sinusovém vstupním signálu
- hřídel reaguje teprve až vstupní signál překročí práh necitlivosti
- výsledkem je menší amplituda

s dead zone

Jak řídit nelineární soustavu?

- návrh řízení provedeme metodami nelineární teorie (ty budete mít až v předmětu X35NES: Nelineární systémy)
- soustavu často **přibližně linearizujeme** a pak
 - ⓐ navrhujeme pro **linearizovaný** sys. **lineárními** metodami
 - ⓐ to už umíte, opakování je také na doplňkových slajdech
 - ⓐ Pozor: výsledek ověříme simulacemi s původním nelineárním modelem
- někdy můžeme soustavu **linearizovat** přesně
 - ⓐ **nejprve** navrhнемe **regulátor**, který soustavu **linearizuje**
 - ⓐ tak **vznikne nový – lineární – systém**
 - ⓐ pak navrhнемe další – **lineární – regulátor**, který ten nově vzniklý lineární systém řídí
 - ⓐ **přesnou linearizaci** provedeme buď
 - nelineární FB nebo
 - nelineární FF nebo také můžeme
 - ⓐ **linearizovat** přibližně (částečně) lineární FB

Linearizace



Linearizační efekt ZV

Lokálně linearizační efekt ZV

- Zavedením vhodné ZV držíme výstup soustavy poblíž požadovaného pracovního bodu, tj.
- tam, kde dobře platí lineární modely použité při návrhu
- Tak vlastně ZV ospravedlňuje užití lineárních modelů v kurzu SRI

I lineární ZV
linearizuje,
více pro větší
zesílení

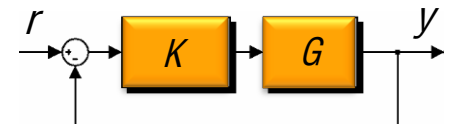
Globálně linearizační efekt ZV

- Už v první přednášce jsme viděli, jak je výhodné použít ZV s velkým zesílení – Teď to odvodíme obecněji: pro systémy lineární i nelineární

$$y = GKr - GKy \rightarrow y = \frac{GK}{1+GK} r$$
$$|GK| \gg 1 \rightarrow y \approx r$$

- velké zesílení potlačí vliv neurčitostí i nelinearit

- Bohužel často také destabilizuje – nutný kompromis dle frekvencí
- Často užíváme integrátor – má pro malé frek. nekonečné zesílení



$$y = G\langle K(r) \rangle - G\langle K(y) \rangle \rightarrow G\langle K(y) \rangle = G\langle K(r) \rangle - y$$
$$\rightarrow y = r - K^{-1}\langle G^{-1}(y) \rangle$$
$$|G\langle K(\circ) \rangle| \gg 1 \leftrightarrow K^{-1}\langle G^{-1}(\circ) \rangle \approx 1$$
$$\rightarrow y \approx r$$

Linearizace zpětnou vazbou

- nelineární členy odečteme a přidáme k řízení
- výsledkem je přesně lineární systém - pokud řídicí počítač vypočte nelineární člen rychle

Příklad: kyvadlo řízené momentem

$$ml^2\ddot{\varphi} + mg/l \sin \varphi = M_c$$

$$ml^2\ddot{\varphi} = \underbrace{M_c - mg/l \sin \varphi}_U$$

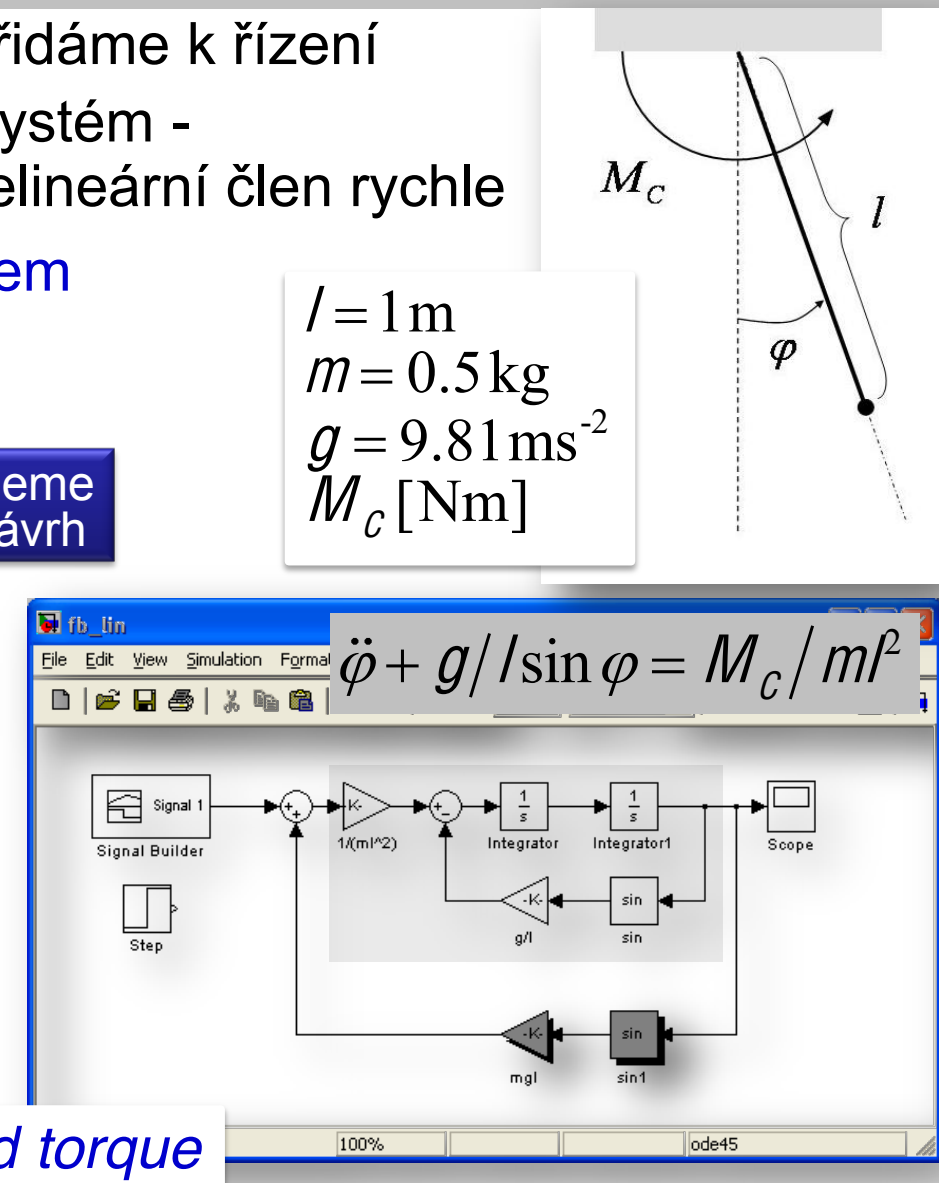
použijeme pro návrh

$$\begin{aligned} l &= 1 \text{ m} \\ m &= 0.5 \text{ kg} \\ g &= 9.81 \text{ ms}^{-2} \\ M_c &[\text{Nm}] \end{aligned}$$

- výsledná rovnice $ml^2\ddot{\varphi} = u$ je lineární i pro velká φ , ale
- k řízení se přičte nelin. ZV

$$M_c = u + mg/l \sin \varphi$$

- používá se to např. pro řízení robotů jako metoda *computed torque*



Linearizace - pokračování

- při přesné ZV linearizaci jsme převedli

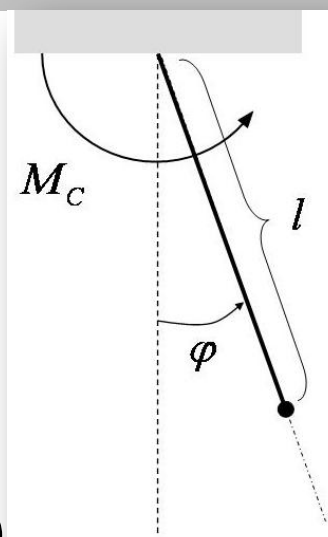
$$ml^2\ddot{\varphi} + mg/\sin \varphi = M_c$$

- na

$$ml^2\ddot{\varphi} = u$$

$$M_c = u + mg/\sin \varphi$$

- funguje to dobře, ale musíme tu přidanou nelinearitu realizovat dobře (= dost rychle)
- u dnešních robotů zvládneme až 3-dílná ramena



Pro srovnání:

- přibližnou linearizací kyvadla pro malé φ (v okolí dolní polohy) dostaneme

$$\sin \varphi \approx \varphi$$



$$ml^2\ddot{\varphi} + mgl\varphi = M_c$$

- tj. rovnici lineárního oscilátoru

$$\ddot{\varphi} + \frac{g}{l}\varphi = \frac{M_c}{ml^2}$$

- pro soustavy s oddělenou lineární dynamikou a statickou nelinearitou na vstupu
- můžeme použít

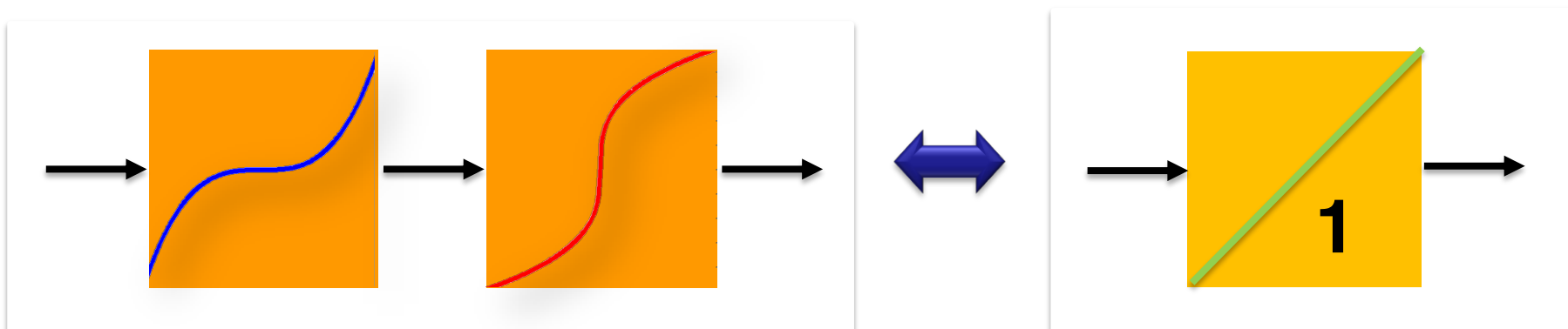
Linearizaci inverzní nelinearitou

- k některým nelineárním funkcím
- existuje inverzní nelinearita
- takže jejich sériové spojení $f \langle h \langle \circ \rangle \rangle = f \langle f^{-1} \langle \circ \rangle \rangle = \circ$ je lineární
- používá se to hlavně pro korekci mírně nelin. senzorů a aktuátorů

$$f \langle \circ \rangle$$

$$h \langle \circ \rangle = f^{-1} \langle \circ \rangle$$

$$f \langle h \langle \circ \rangle \rangle = f \langle f^{-1} \langle \circ \rangle \rangle = \circ$$

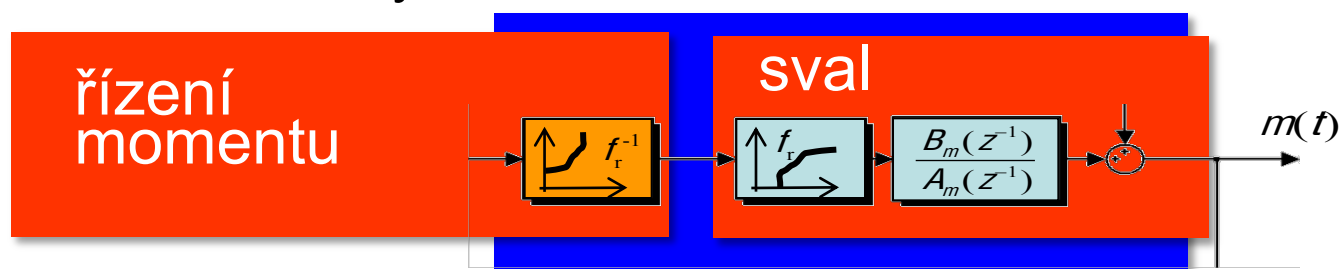
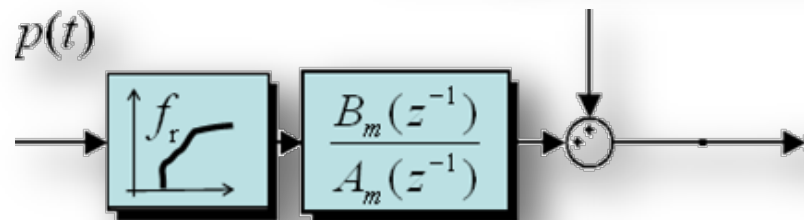
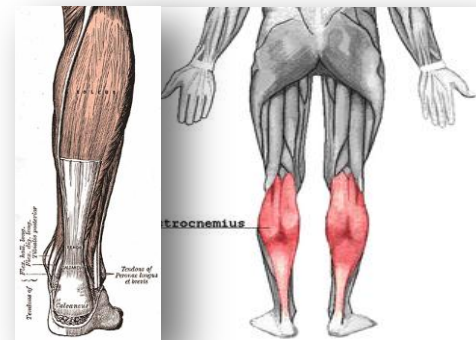


Hammersteinův model lidského svalu

- Lýtkové svaly: triceps surae
= Gastrocnemius + Soleus
- jejich reakci na elektrickou stimulaci popisuje

Hammersteinův empirický model

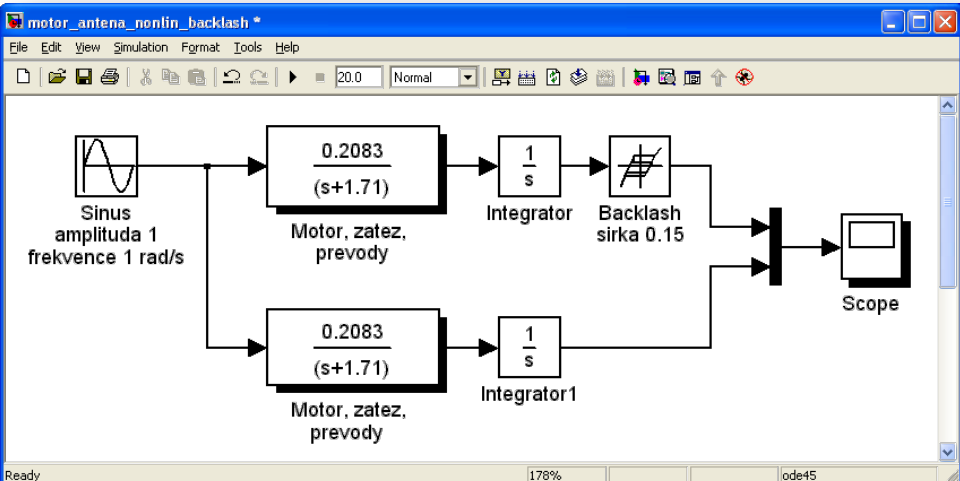
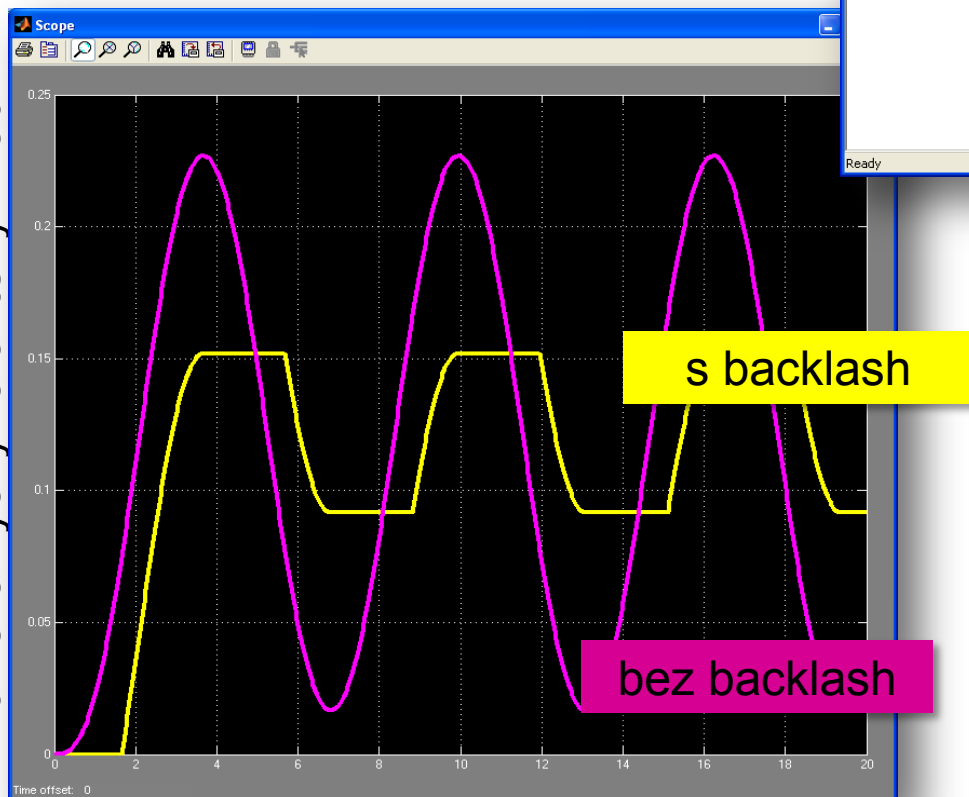
- statická nelinearity + lineární dynamika
- z experimentální impulsní charakteristiky se odvodí tvar nelinearity
- potom se nelinearity vykrátí umělou inverzí



- a z výsledkem je lineární systém

Příklad: vliv mrtvého chodu backlash

- mrtvý chod - **backlash**
- vůle v ložiscích
- šířka pásma necitlivosti 0.15



- dobře se projeví při sinusovém vstupním signálu
- po změně směru rotace motoru
- zůstane výstupní hřídel na chvíli v klidu
- „dokud ložiska nezaberou opačně“

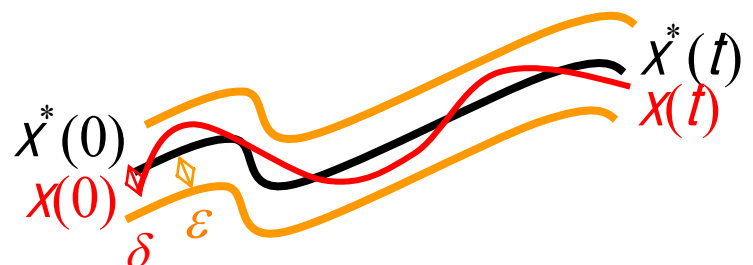
Stabilita nelineárních systémů



- řešení nelineárního systému je stabilní když malá změna počátečních podmínek způsobí jen malou změnu toho řešení
- nechť systém $\dot{x}(t) = f(x(t))$ má pro počáteční stav $x^*(0)$ řešení $x^*(t)$. Toto řešení je
- stabilní (Lyapunovsky stabilní) když

$\forall \varepsilon > 0 \exists \delta > 0 :$

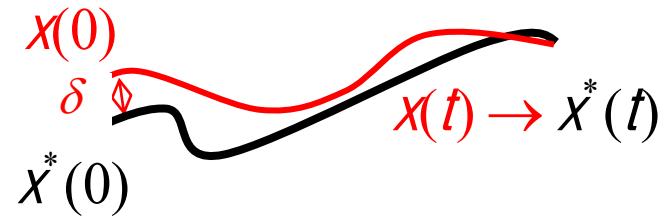
$$|x^*(0) - x(0)| < \delta \Rightarrow |x^*(t) - x(t)| < \varepsilon$$



- asymptoticky stabilní když

$\exists \delta > 0 :$

$$|x^*(0) - x(0)| < \delta \Rightarrow \lim_{t \rightarrow \infty} |x^*(t) - x(t)| = 0$$



- u nelineárních systémů: ani jedna z vlastností obecně neimplikuje druhou
- speciálně u lineárních systémů: asymptotická stabilita implikuje Lyapunovskou

Stabilita ekvilibria

- Řešení, které začne v ekvilibriu, tam také setrvá navždy
- Stabilita ekvilibria = stabilita řešení, které v něm začne (a skončí)
- Říkáme, že ekvilibrium je stabilní, asymptoticky stabilní, nestabilní když toto řešení je takové

Definice

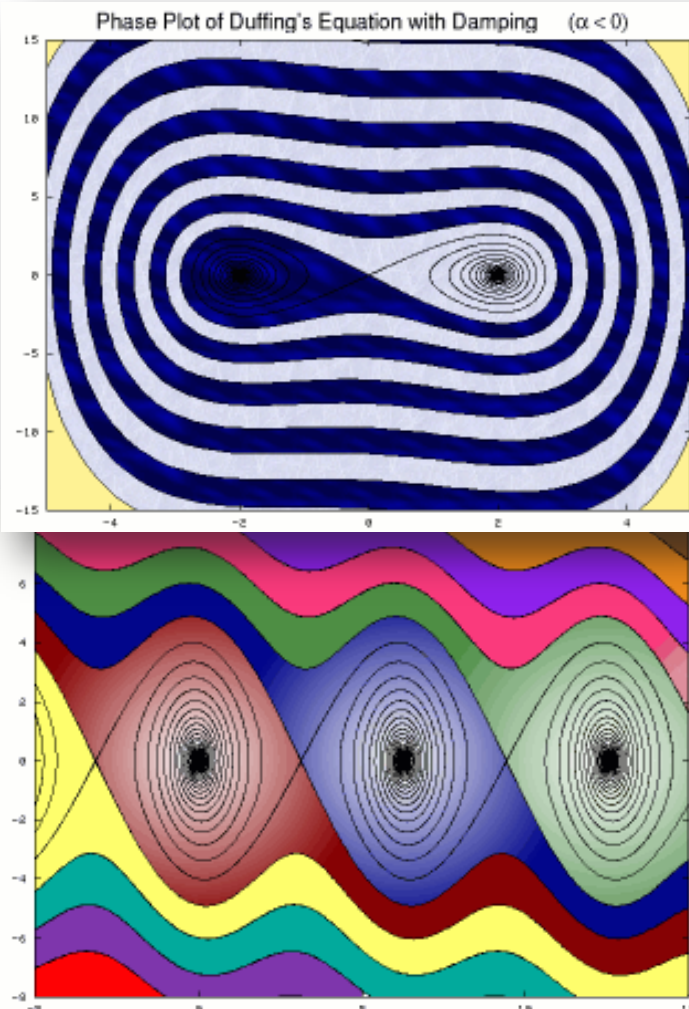
Ekvilibrium je tedy **lokálně** stabilní (asymptoticky stabilní) právě když všechna řešení **začínající blízko něj** zůstanou blízko (konvergují k němu)

- to je zřejmě žádaná vlastnost, ale ještě lepší je, když to platí pro všechna řešení:

Ekvilibrium x_e je **globálně** asymptoticky stabilní, právě když je stabilní a

$$\lim_{t \rightarrow \infty} x(t) = x_e \quad \forall x(0)$$

atraktor,
doména
atrakce,
povodí



Kdy je lineární systém Lyapunovsky stabilní?

Zvláštním případem nelineárního systému je systém lineární: $\dot{x} = Ax$

- U lineárního systému je **stabilita ekv.** globální a = **stabilitě systému**
- Už víme, kdy je lineární systém asymptoticky stabilní
- U **lineárního systému asymptotická stabilita** \rightarrow Lyapunov. stab.
- Kdy ještě je lineární systém Lyapunovsky stabilní?
- Role **vlastních čísel na mezi stability:**
 - ⓐ jednonásobná vlastní čísla na Im neporuší Lyapunovu stabilitu
 - ⓑ a co vícenásobná?
 - ⓒ Neporuší ji takové vícenásobné vl. č. na Im, pro které platí násobnost vl.č. = počet jeho lineárně nezávislých vl. vektorů

alternativně: **násob. vl. č. = počet jeho Jordanových bloků**

Příklad:

Paralelní spojení integrátorů je Lyapunovsky stab.

$$A = \begin{bmatrix} 0 & 0 \\ 0 & 0 \end{bmatrix}$$

Kaskáda integrátorů není Lyap. stab.

$$A = \begin{bmatrix} 0 & 1 \\ 0 & 0 \end{bmatrix}$$

Intuitivně čekáme, že

- ekvilibrium x_0 systému $\dot{x}(t) = f(x(t), u_0)$ je stabilní
- je-li stabilní linearizace v jeho okolí

$$\begin{aligned}Z &= x - x_0, V = u - u_0 \\ \dot{z} &= Az + BV\end{aligned}$$

Přesněji platí tohle

- Má-li matice A všechna vlastní čísla stabilní, pak je ekvilibrium stabilní
- Má-li matice A aspoň jedno vlastní číslo nestabilní, pak je ekvilibrium nestabilní
- Má-li matice A aspoň jedno vlastní číslo na mezi stability a žádné nestabilní, pak o stabilitě ekvilibrium jen ze znalosti A nemůžeme rozhodnout

Jak zkoumat stabilitu - motivace

Určeme stabilitu ekvilibria v počátku pro systém 2. rádu

- zkoumáním vzdálenosti jeho řešení od počátku $d^2(t) = x_1^2(t) + x_2^2(t)$
- sledujme její změnu jako funkce času podél tohoto řešení

Nejprve

- pro systém $\begin{aligned}\dot{x}_1 &= x_2 - x_1^3 \\ \dot{x}_2 &= -x_1 - x_2^3\end{aligned}$ je
- dosazením rovnic systému dostaneme

$$\frac{d}{dt}(x_1^2(t) + x_2^2(t)) = 2x_1(x_2 - x_1^3) + 2x_2(-x_1 - x_2^3) = -2(x_1^4 + x_2^4) \leq 0 \quad \forall t$$

- dokud nejsou x_1 a x_2 současně 0, čtverec vzdálenosti klesá k 0 a tak se řešení blíží k nule \rightarrow ekv. je lok. asymptoticky stabilní

Naopak

- pro systém $\begin{aligned}\dot{x}_1 &= x_2 + x_1^3 \\ \dot{x}_2 &= -x_1 + x_2^3\end{aligned}$ je
- $$\frac{d}{dt}(x_1^2(t) + x_2^2(t)) = 2x_1(x_2 + x_1^3) + 2x_2(-x_1 + x_2^3) = 2(x_1^4 + x_2^4) \geq 0 \quad \forall t$$
 tedy vzdálenost

- roste bez omezení a ekvilib. je nestabilní

Oba systémy mají stejnou linearizaci

$$\begin{aligned}\dot{x}_1 &= x_2 \\ \dot{x}_2 &= -x_1\end{aligned}$$

s vlastními čísly $\pm i$ a stabilitu z ní nepoznáme.

- V předchozích příkladech jsme určovali stabilitu z toho, zda kvadrát vzdálenosti řešení od počátku s časem roste nebo klesá

Tuto myšlenku dál zobecníme:

- Uvažme systém $\dot{x} = f(x)$ s ekvilibriem x_0 a dále
- předpokládejme, že existuje funkce V taková, že

$$V(x_0) = 0$$

positivně def.

$$V(x) > 0, x \neq x_0$$

neg.semidef.

$$V_x(x) f(x) \leq 0$$

derivace podél
trajektorie

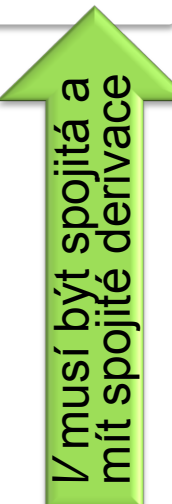
$$d^2(t) = x_1^2(t) + x_2^2(t)$$

kde $V_x(x) \stackrel{\text{def}}{=} \left[\frac{\partial V}{\partial x_1} \dots \frac{\partial V}{\partial x_n} \right]$

- funkce splňující   v nějakém okolí x_0 se nazývá **Lyapunova**
- má význam **energie** či **zobec. vzdálenosti** řešení x od bodu x_0
- s rostoucím časem klesá pro všechna řešení $\dot{x} = f(x)$, neboť

$$\frac{d}{dt} V(x(t)) = V_x(x) \dot{x}(t) = V_x(x(t)) f(x(t)) \leq 0$$

- pokud splňuje ještě další podmínky, slouží k různým testům stability nelineárních systémů
- podmínky jsou vždy postačující (najdeme vhodnou fci  stabilita)
- hledáme vždy pro určitý systém, často je problém vhodnou fci najít

 Vmusí být spojitá a mít spojité derivace

- pokud pro danou soustavu existuje Lyapunova funkce splňující ještě další podmínky, pak je soustava v nějakém smyslu stabilní
- různé další podmínky → různé věty o stabilitě (postačující pod.)

Jestliže existuje Lyapunova funkce a navíc

bez dalších podmínek → x_0 je (lokálně) Lyapunovsky stabilní

+ $V_x(x) f(x) < 0, x \neq x_0$ → x_0 je (lokálně) asymptoticky stabilní

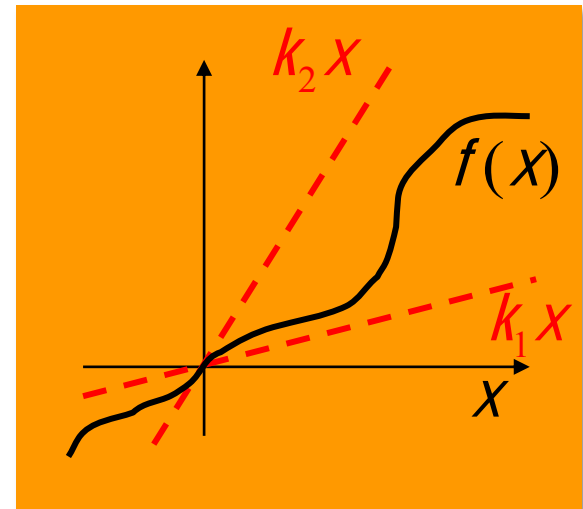
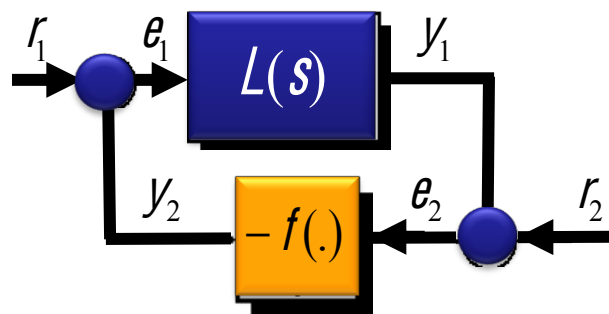
+ $V_x(x) f(x) < 0, x \neq x_0$
 $V(x) \rightarrow \infty, |x| \rightarrow \infty$ → x_0 je globálně asymptoticky stabilní
= celý systém je asymptoticky stab

apod. další varianty

Stabilita nelineárního ZV systému

- Uvažme systém s nelinearitou ve zpětné vazbě

$$y_2 = -f(e_2)$$



- kde nelinearity splňuje podmínky

$$f(0)=0, \quad k_1 \leq \frac{f(x)}{x} \leq k_2, \quad x \neq 0, \quad k_1 \geq 0, \quad k_2 > 0$$

- pak platí obecnější verze [Věty o malém zesílení](#)

ZV je stabilní jestliže L je stabilní a

$$k_2 \sup_{\omega} |L(j\omega)| < 1$$

- to je postačující podmínka, ale většinou moc konzervativní (protože je L často větší, aspoň pro některé frekvence)

Kruhové kritérium stability

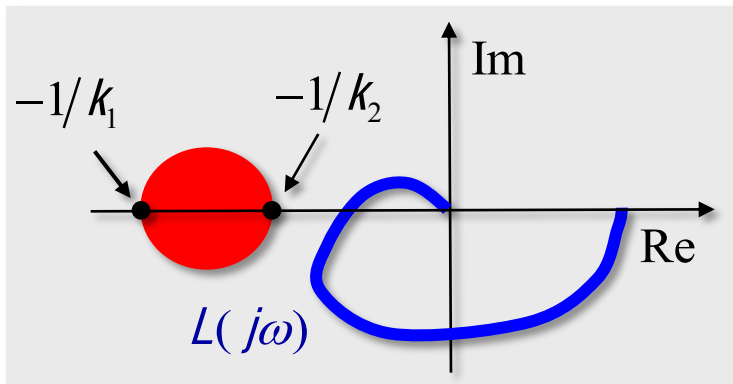
- nakresleme Nyquistův graf $L(j\omega)$
- a k němu přikresleme kruh se středem na reálné ose, který prochází body $-1/k_1$ a $-1/k_2$

Věta – kruhové kriterium

Systém se

- Stabilním L
- nelinearitou splňující podmínky a takový, že
- Nyquistův graf $L(j\omega)$ neobkrouží kruh ani jím neprochází je **BIBO stabilní**

- Pokud je ještě L racionální a nesoudělný, pak je systém (jeho ekvilibrium v počátku) **globálně asymptoticky stabilní**
- podmínka je to jen **postačující**, nikoli nutná
- pro lineární f **přechází v Nyquistovo kritérium stability**
- k_1 může být 0



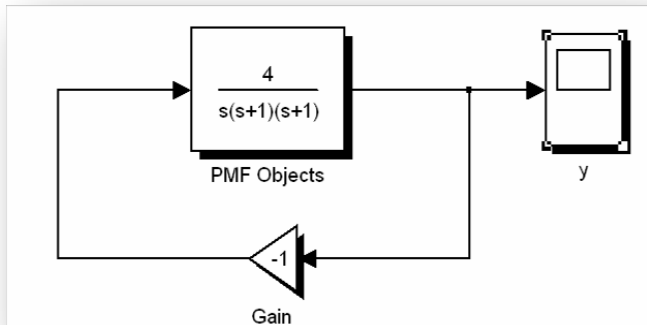
Oscilace nelineárních systémů



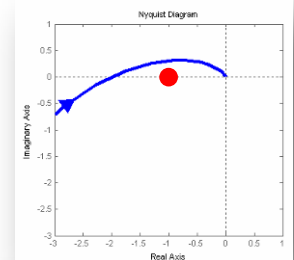
- Někdy se systém neustálí v ekvilibriu, ale navždy kmitá

$$G(s) = \frac{4}{s(s+1)^2}$$

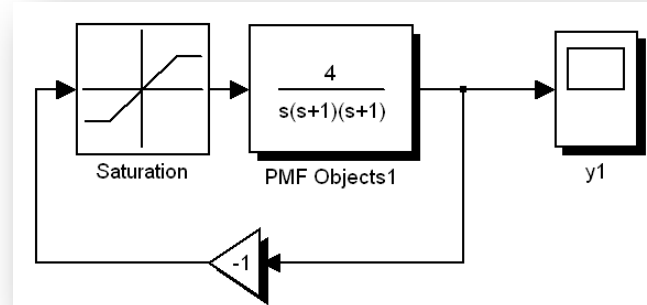
- Uvažme nejprve systém, který je bez nelinearity



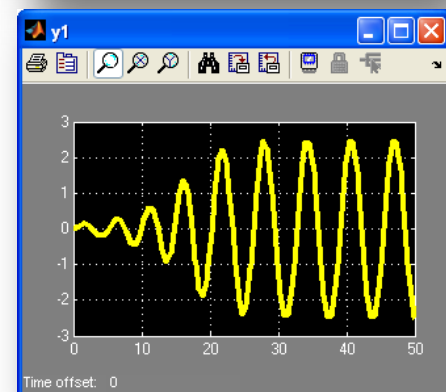
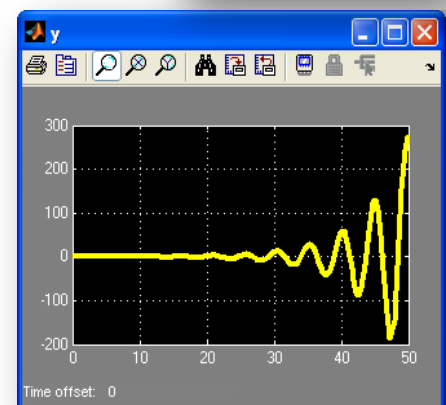
CL nestabilní



- Přidáním nelinearity typu saturace



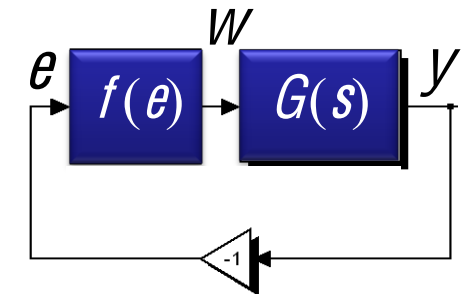
- vzniknou stabilní oscilace – jak to předem zjistit?



Metoda ekvivalentního přenosu

describing function method

- Lichá statická nelinearity + lineární dynamika
- Předpokládáme $e(t) = C \sin \omega t$
- na výstupu nelinearity pak je periodická funkce, rozvineme ve Fourierovu řadu



- $$w(t) = f_0(C) + A(C) \sin(\omega t + \phi(C)) + A_2(C) \sin(2\omega t + \phi_2(C)) + \dots$$
- koeficienty řady (tvar signálu uvnitř jedné periody) závisí na C , ale ne na ω (protože je nelinearity statická a ne dynamická)
 - Uvažujeme jen první harmonickou (dynamická část odfiltruje vyšší a lichá nelinearity $\rightarrow f_0(C) = 0$)
 - Nelinearity nahradíme komplexním zesílením $Y_f(C) = \frac{b(C) + ia(C)}{C}$ (ekvivalentním přenosem) závislým na amplitudě
 - Ke kmitům dojde, když je OL přenos rovný jedné, tedy když

$$Y_f(C) G(j\omega) = -1$$

- ekvivalentní přenos (describing function) nelinearity můžeme vyjádřit pomocí Fourierových koeficientů (pro periodu 2π)

$$Y_f(C) = \frac{b(C) + ia(C)}{C} \quad a(C) = \frac{1}{\pi} \int_0^{2\pi} f(C \sin \alpha) \cos \alpha d\alpha = A(C) \sin \phi(C)$$

$$b(C) = \frac{1}{\pi} \int_0^{2\pi} f(C \sin \alpha) \sin \alpha d\alpha = A(C) \cos \phi(C)$$

- obvykle nepočítáme, pro typické nelinearity vypočteny v tabulkách
- amplitudu a frekvenci možných oscilací získáme z rovnice

$$Y_f(C) G(j\omega) = -1 \Rightarrow G(j\omega) = \frac{-1}{Y_f(C)}$$

- Obvykle graficky
- Výsledek ověříme simulací: v závislosti na splnění předpokladů nemusí být přesný nebo nemusí existovat

